

AS1) 황사현상에 의한 광주시 도시지역 시정감쇄의 광학적 특성

Optical Extinction Characteristics of Visibility

Impairment by Yellow Sand Storm Particles in the Urban Atmosphere of Kwangju

김영준 · 김경원 · 오승진

광주과학기술원 환경공학과 환경모니터링신기술연구센터

1. 서론

황사에 대한 연구는 발원지, 이동경로, 기상조건, 에어로졸의 특성 등 다각적인 면에서 조사되어 왔다. 우리나라에 영향을 미치는 황사현상은 중국 및 몽고 사막 등에서 봄철 기온 상승으로 한랭전선을 동반한 저기압이 발달되어 전선 후면의 강풍과 함께 황토 먼지가 매년 3~5월경에 편서풍을 타고 3,000 km 이상의 거리를 이동하여 한반도에 유입되는 현상이다. 황사발생일수는 일년에 3~6일로 주로 4월에 관측되며, 중국의 자료에서도 연중 25 %가 4월에 발생한다고 보고하고 있다(Parungo et al., 1994). 황사입자의 입경분포는 발생원과 이동경로에 따라 변화가 있으나, 일반적인 도시지역의 에어로졸 구성과는 달리 거대입자($2.5 < D_p < 10 \mu\text{m}$)가 현저하게 증가하는 것으로 보고되고 있다. 뿐만 아니라, 황사현상은 짧게는 수시간에서 길게는 수일에 걸쳐 급격한 시정의 저하를 유발하며 에어로졸의 화학적 구성을 변화시킨다.

본 연구는 황사 기간동안의 에어로졸의 화학적 구성 및 광학적 특성을 분석하여 비정규적인 시정감쇄 현상에 대한 에어로졸의 빛 소멸관계식(light extinction coefficient)을 정량하는 데에 있으며, 정규적인 계절변화에 따른 시정감쇄 현상과의 비교를 통하여 에어로졸의 광·화학적 특성을 규명하였다.

2. 연구방법

광주시 도시지역의 시정감쇄 현상에 연구는 1999년 5월 23일부터 지속적으로 시행되고 있다. Transmissometer, nephelometer, aethalometer의 세 광학계를 이용하여 에어로졸의 빛에 대한 산란(scattering), 흡수(absorption), 소멸계수(extinction coefficient)를 지속적으로 관측하며, 각 계절별로 집중관측을 통하여 에어로졸의 화학적 성분을 분석하였다. 광주시 시정집중관측을 위해 사용한 샘플러와 분석법을 표 1에 요약하였다.

Table 1. Aerosol sampling methods and analytical methods.

Sampler		Particle Size	Filter Type	Analytical Method
URG VAPS	right arm	< 2.5 μm	Quartz (Whatman, 47mm)	Thermal Manganese dioxide Oxidation Analysis (EC & OC)
	center arm	2.5 ~ 10 μm	Polycarbonate(Nuclepore) (Costa, 0.4 μm , 47mm)	Gravimetric Analysis (mass)
	left arm	< 2.5 μm	Teflon(Zeflour) (Gelman, 2 μm , 47mm)	Gravimetric Analysis (mass)
			Nylon(Nylasorb) (Gelman, 1 μm , 47mm)	Ion Chromatography Analysis (SO ₄ ²⁻ , NO ₃ ⁻ , NH ₄ ⁺)
URG PM2.5 Cyclone		< 2.5 μm	Denuder (URG, 150 & 242mm)	Ion Chromatography Analysis (SO ₂ , HNO ₃ , NH ₃)
WINS sampler		< 2.5 μm	Teflon(Teflo) (Gelman, 2 μm , 47mm)	Gravimetric Analysis (mass) Induced Couple Plasma Analysis (Na - Pb, 20 elements)
MOUDI sampler			Teflon (Sartorius, 0.4 μm , 47mm)	Gravimetric Analysis (mass)
			Teflon(Zeflour) (Gelman, 2 μm , 47mm)	Ion Chromatography Analysis

광주지방기상청에서 관측된 황사기간 중 2000년 3월 23 ~ 24일, 27 ~ 30일, 4월 7 ~ 9일 모두 3차례에 걸쳐 황사기간 시정집중관측이 시행되었으며, 분석된 에어로졸의 화학적 구성은 IMPROVE program 과 본 연구에서 제시된 modified program으로 재구성되었다.

$$b_{ext} = 3f(RH)[sulfate] + 3f(RH)[nitrate] + 4[organic] + 1[soil] + 0.6[coarse mass] + b_{abs} + b_{Ray}$$
 (IMPROVE, 1993)

$$b_{ext} = 3f(RH)[sulfate] + 3f(RH)[nitrate] + 4[organic] + 10[EC] + 1[soil] + 0.4[sea-salt] + 1.0[NHSOc] + 0.77[mineral dust] + b_{abs,NO_2} + b_{abs,dust} + b_{Ray}$$
 (modified equation)

3. 결과 및 고찰

2000년 황사기간동안 관측된 미세입자의 질량농도는 1·2·3차 사례에 대하여 각각 40.9, 24.6, 24.4 $\mu\text{g}/\text{m}^3$ 이었으며, 거대입자의 질량농도는 각각 166.1, 177.0, 393.3 $\mu\text{g}/\text{m}^3$ 으로 관측되었다. 또한 황사기간의 상대습도는 1·2·3차 사례에 대하여 각각 37.4, 63.3, 31.8%이었으며, 시정거리는 각각 9.6, 8.9, 5.9km으로 관측되었다. 2차 황사사례의 경우 미세입자의 양이 1차 황사사례에 비하여 60%에 불과하였으나 상대습도의 증가에 의하여 총 소멸계수는 8% 상승하였다. 도시지역의 시정감쇄는 주로 미세입자에 지배적인 영향을 받는 것으로 보고되고 있다. 그러나 황사기간의 시정변화는 미세입자에 대한 에어로졸의 빛 소멸기여도만으로는 총 소멸량을 정량하는 데 많은 난점이 있다. 그림 1의 a)는 IMPROVE program에 의해 재구성된 황사 에어로졸에 의한 빛의 소멸구성 분포를 나타내고 있다. 거대입자에 대한 빛 소멸효율(light extinction efficiency)을 0.6 m^2/g 으로 계산한 결과는 38%의 상대오차(measured b_{ext} -reconstructed b_{ext})/measured b_{ext})를 나타내었으나, 본 연구에서 제시된 modified program에 의하여 재구성된 총 소멸계수의 상대오차는 그림 1의 b)에서 같이 26%로 감소하였다.

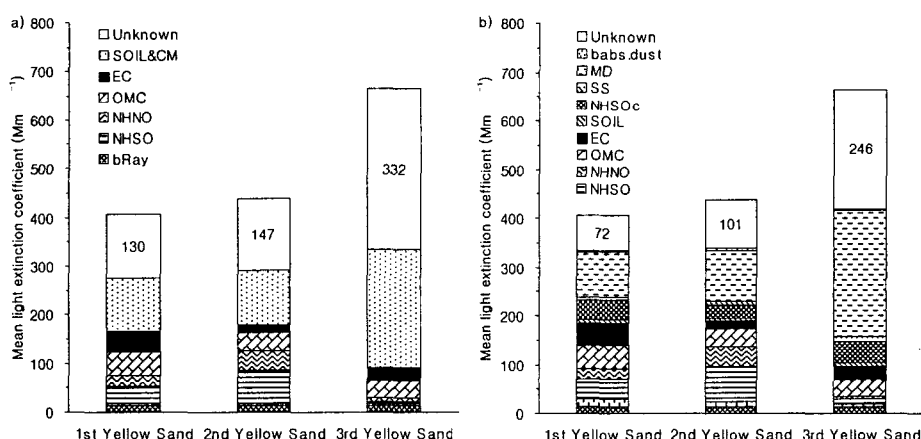


Fig. 1. Comparison of light extinction budgets reconstructed by IMPROVE program and the modified program proposed by KJIST during Yellow Sand periods.

4. 사사

본 연구는 광주과학기술원 환경모니터링신기술연구센터를 통한 한국과학재단 우수연구센터 지원금에 의한 것입니다.

참 고 문 헌

- F. Parungo, et al. (1994) Gobi dust storms and The Great Green Wall, Geophysical research letters 21, 999-1002.
- H. C. Van de Hulst (1987) *Light Scattering by Small Particles*, Dover Publication, 383-453.
- IMPROVE (1993) Spatial and Temporal Pattern and the Chemical Composition of the Haze in the United States, 4-1~4-9